

第九章

绕有限翼展机翼 不可压缩流动

1

All models are wrong, but some are useful.

George E. P. Box

无粘流动

不可压缩流动

伯努利方程

文丘里管、
皮托管

拉普拉斯方程

简单流动

简单流动叠加

复杂流场/面
元法

二维翼型

升力线理论
有限展长机翼



9.1 绕有限翼展机翼实际流动



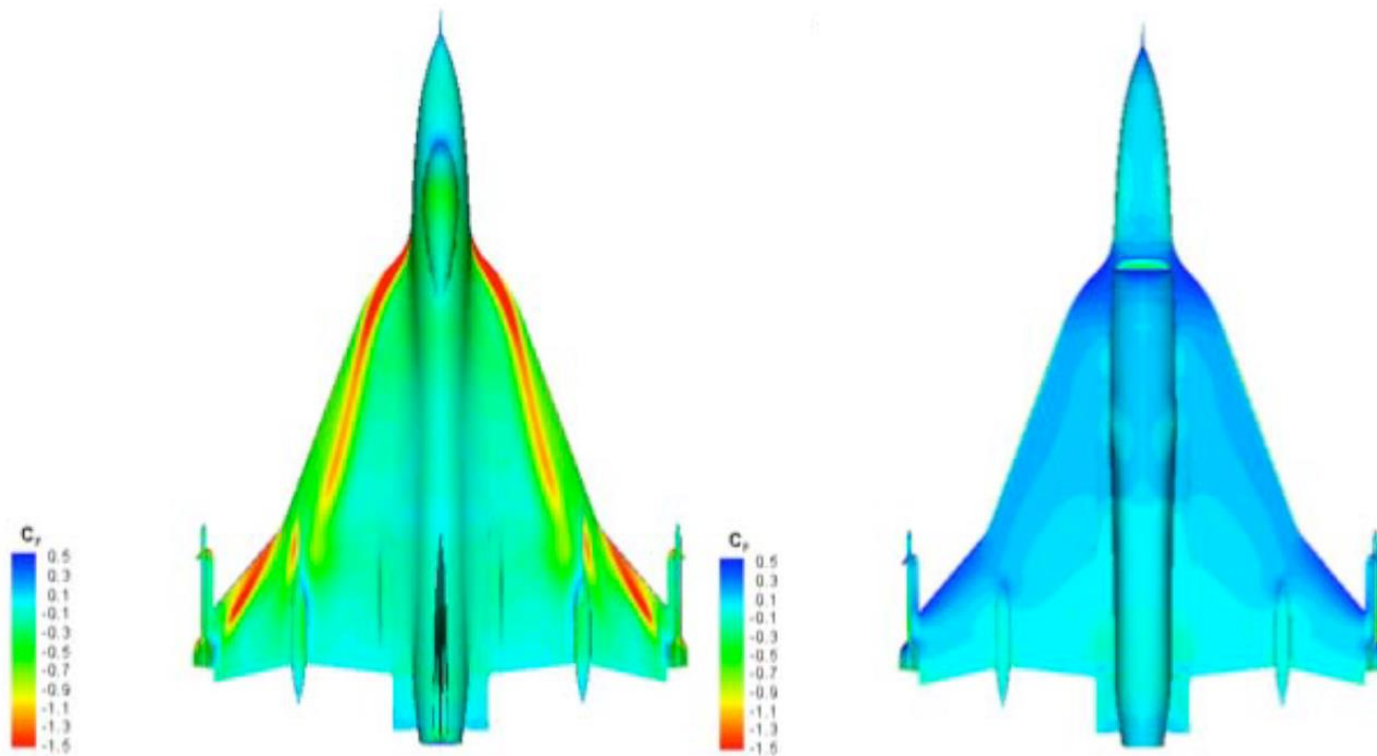
$$\frac{T_c}{T_i} = \left(\frac{p_c}{p_i} \right)^{\frac{\gamma-1}{\gamma}}$$



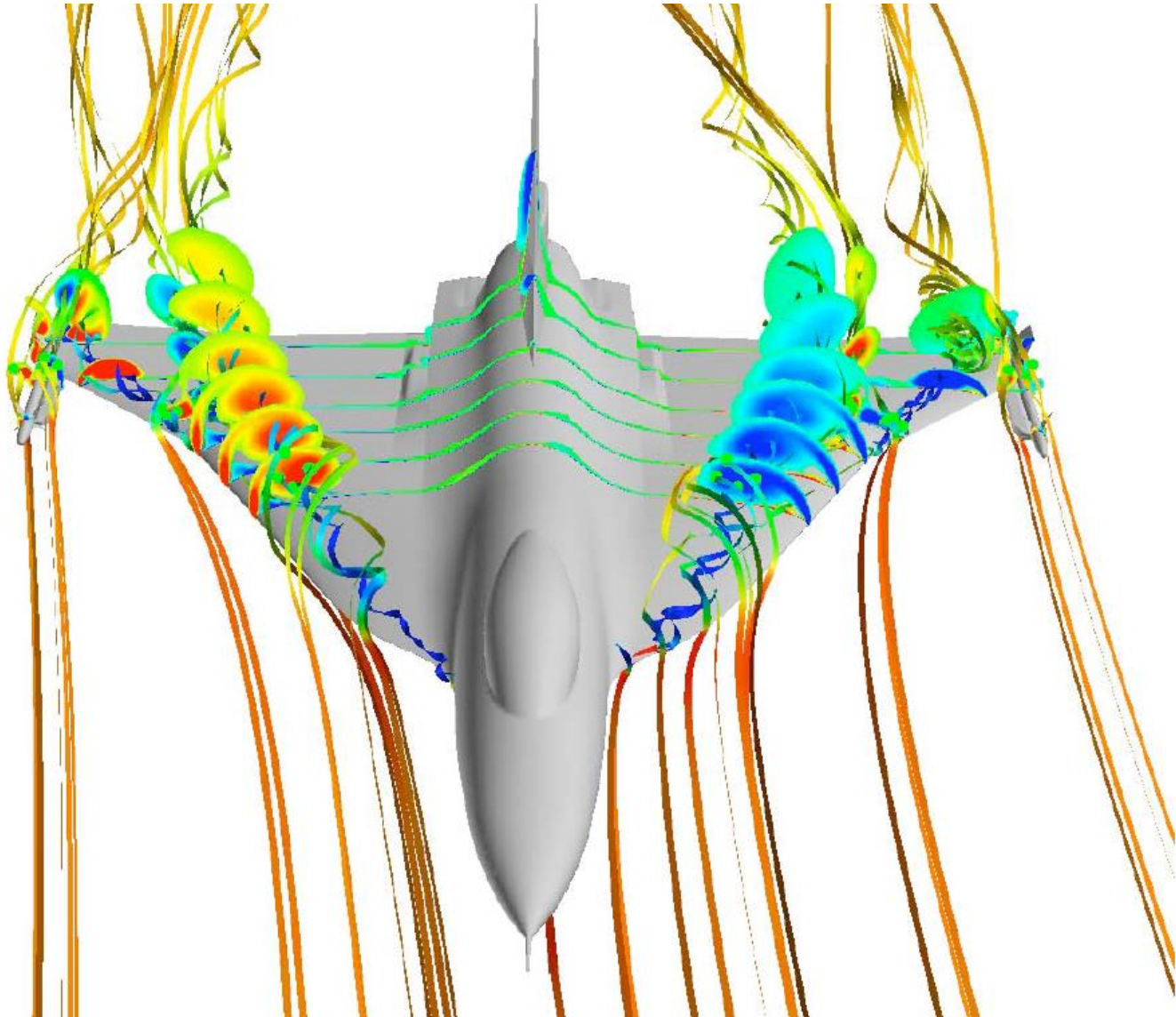
C-17后的翼梢涡



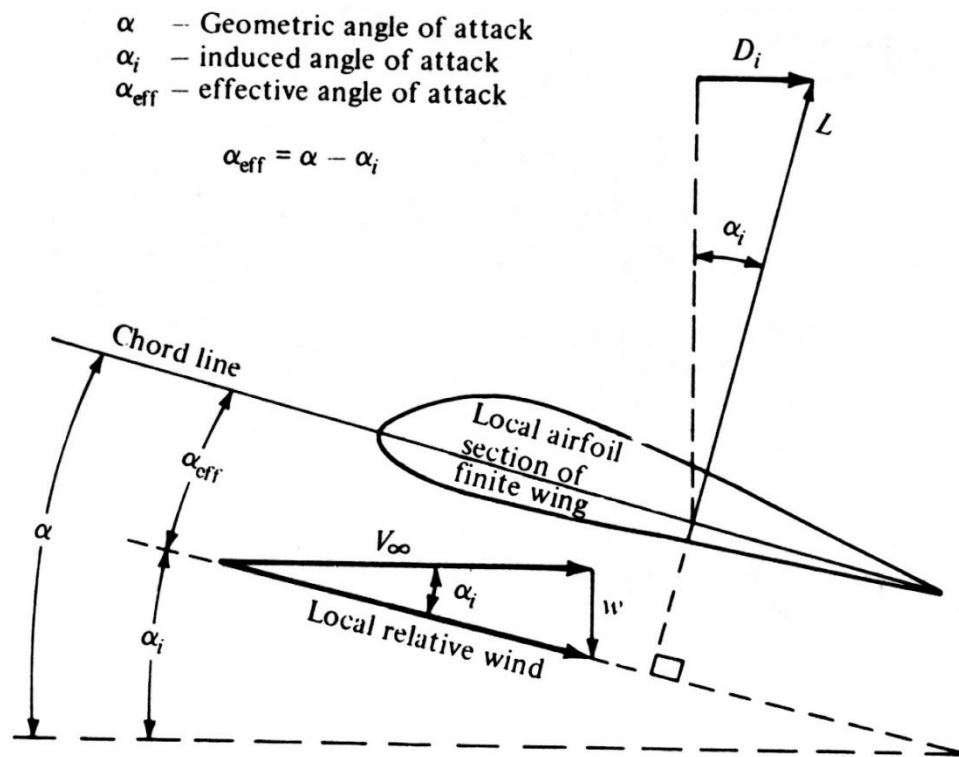
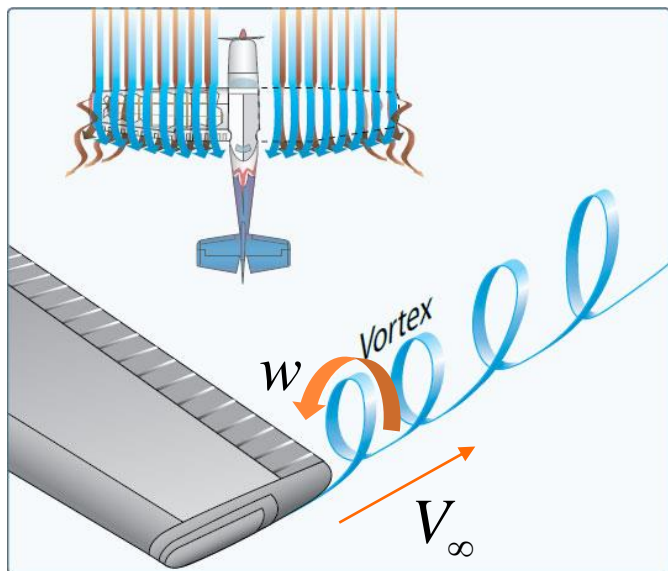
波音客机产生的翼梢涡



Badcock, K.J.: Evaluation of Results from a Reynolds Averaged Multiblock Code Against F-16XL Flight Data. AIAA Paper 2007-0490, 45th AIAA Aerospace Sciences Meeting and Exhibit, Reno NV, January 8-11, 2007



9.2 下洗和诱导阻力

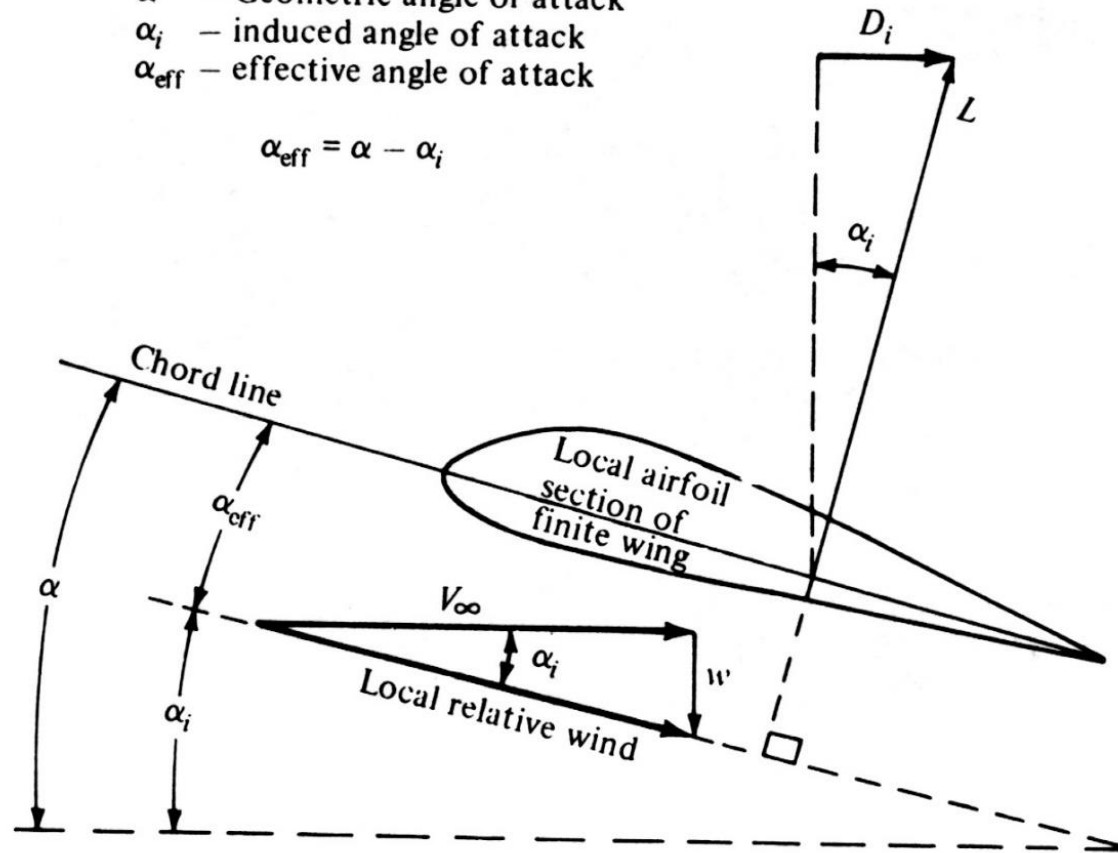


由翼梢涡诱导出一个向下的速度分量，称之为下洗速度。下洗速度改变了机翼当地的攻角，有效攻角定义为

$$\alpha_{eff} = \alpha - \alpha_i$$

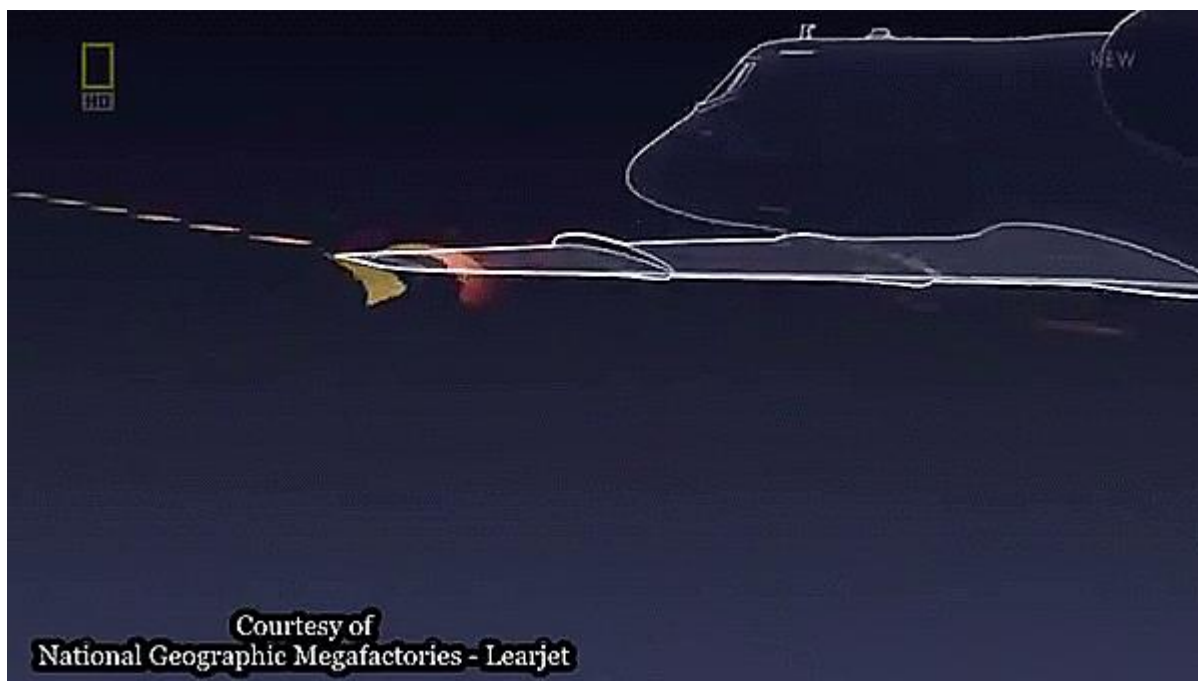
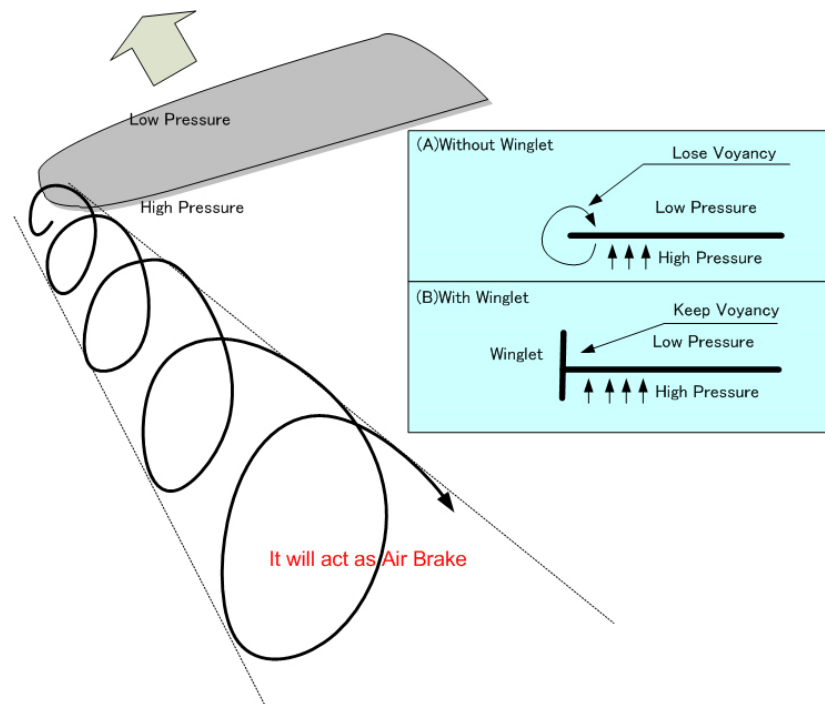
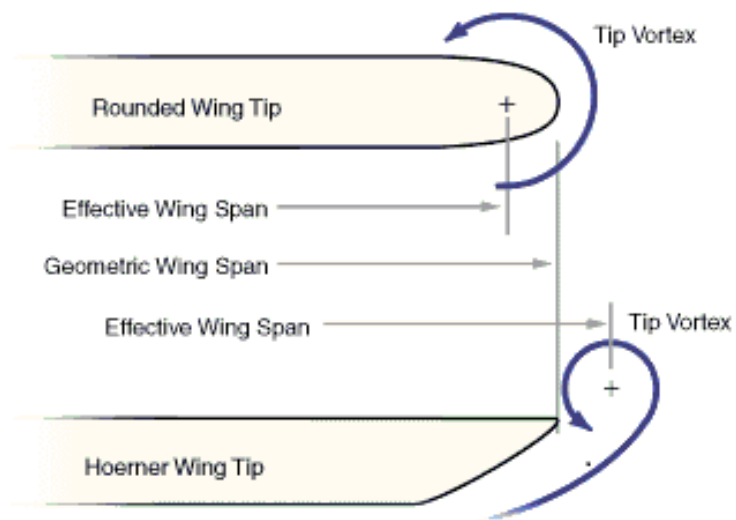
α — Geometric angle of attack
 α_i — induced angle of attack
 α_{eff} — effective angle of attack

$$\alpha_{\text{eff}} = \alpha - \alpha_i$$



同时，下洗速度改变了机翼当地的压力分布，进而诱导出的阻力，称为诱导阻力。

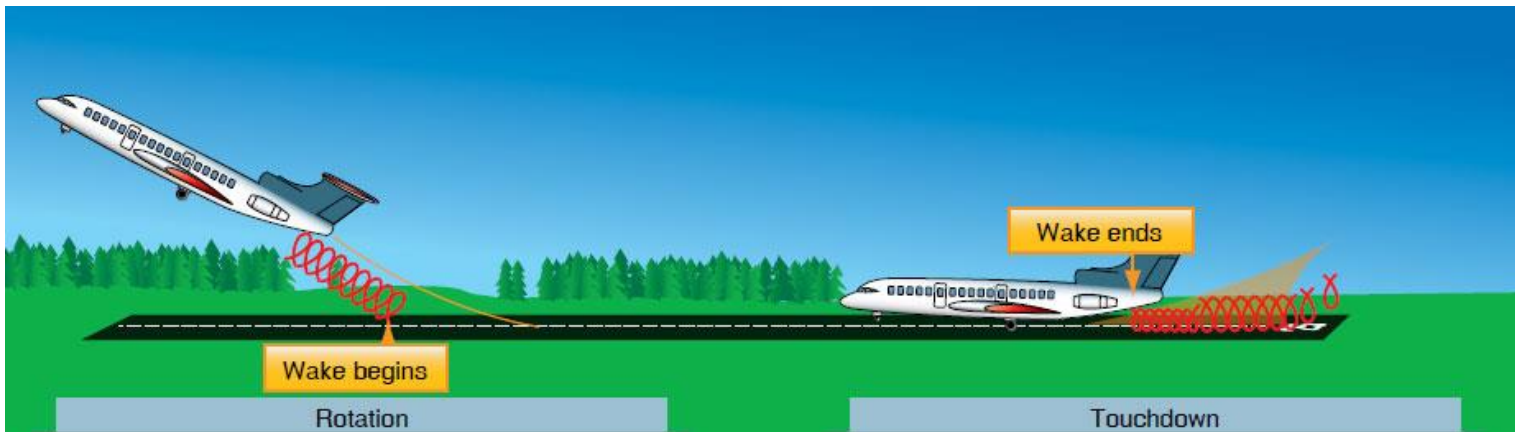
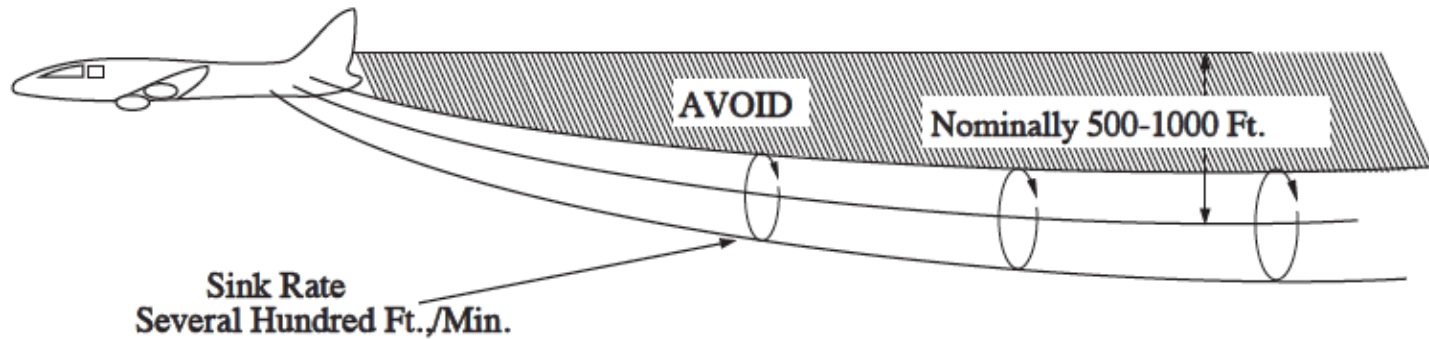
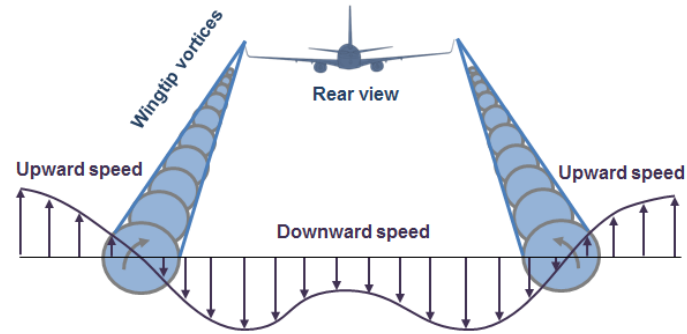
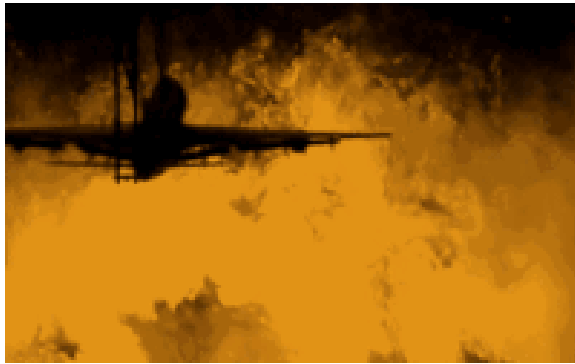
翼尖的设计



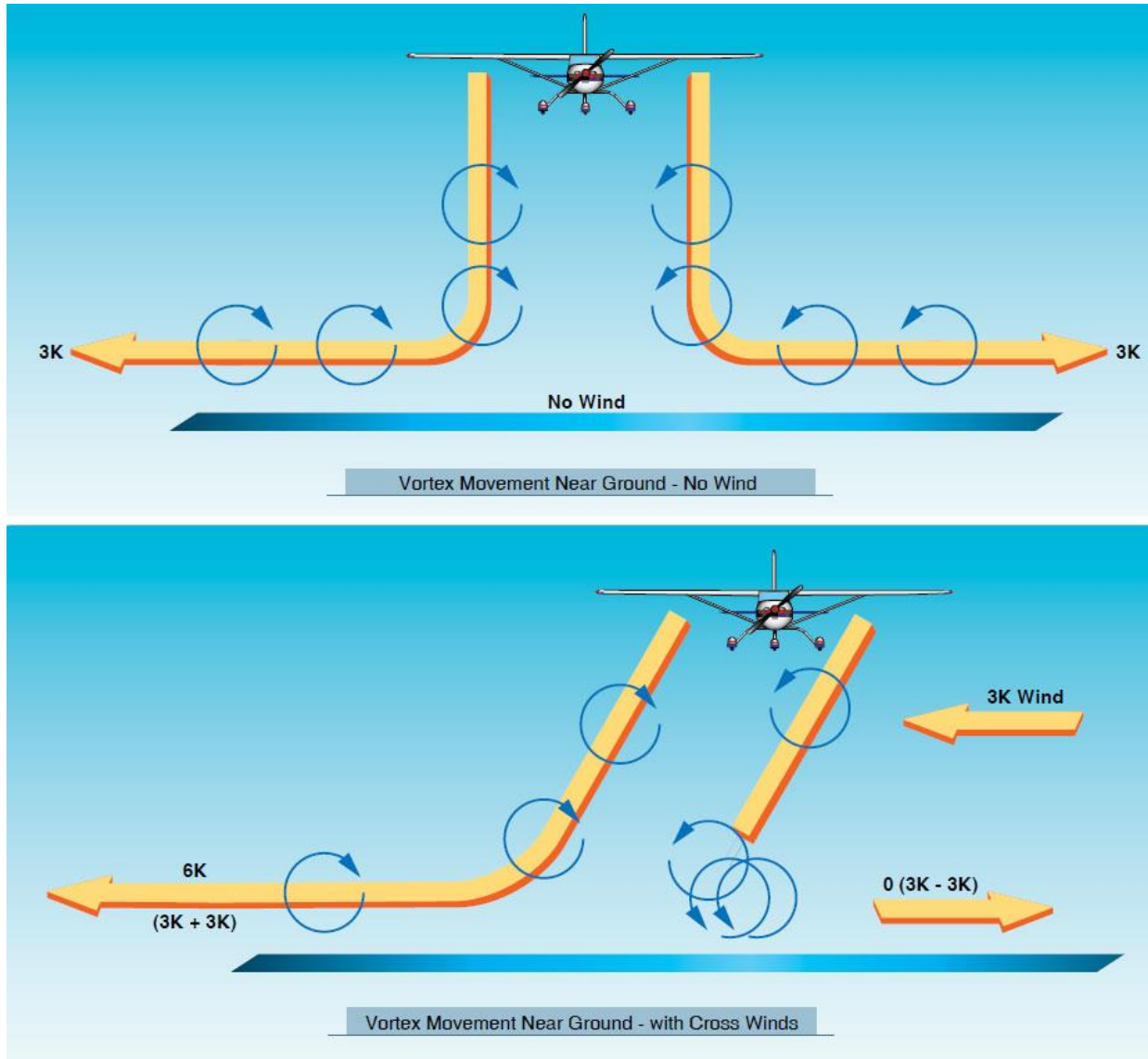
翼稍小翼



翼稍涡的其它效应

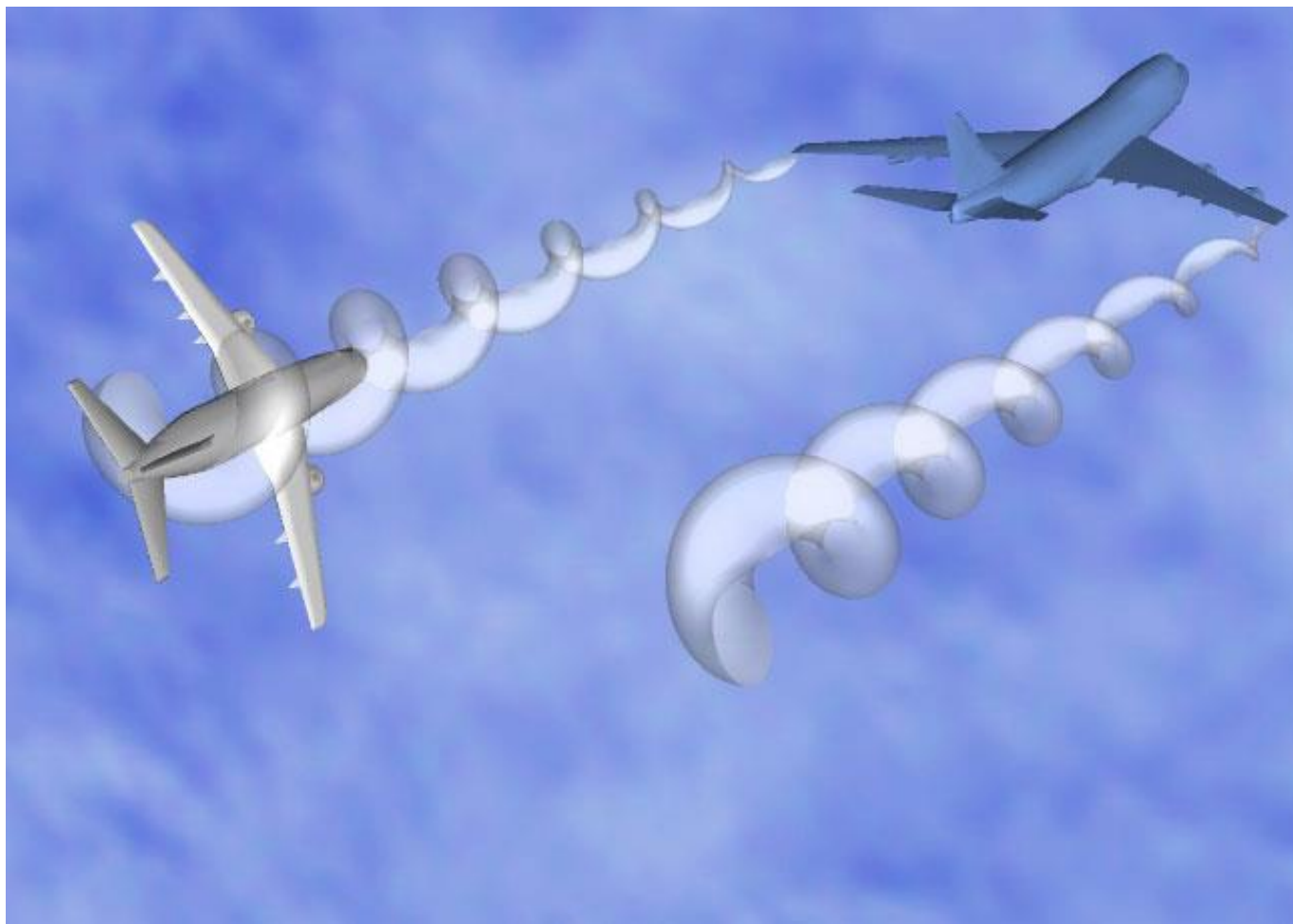


翼稍涡的其它效应



100~200ft 2~3knots

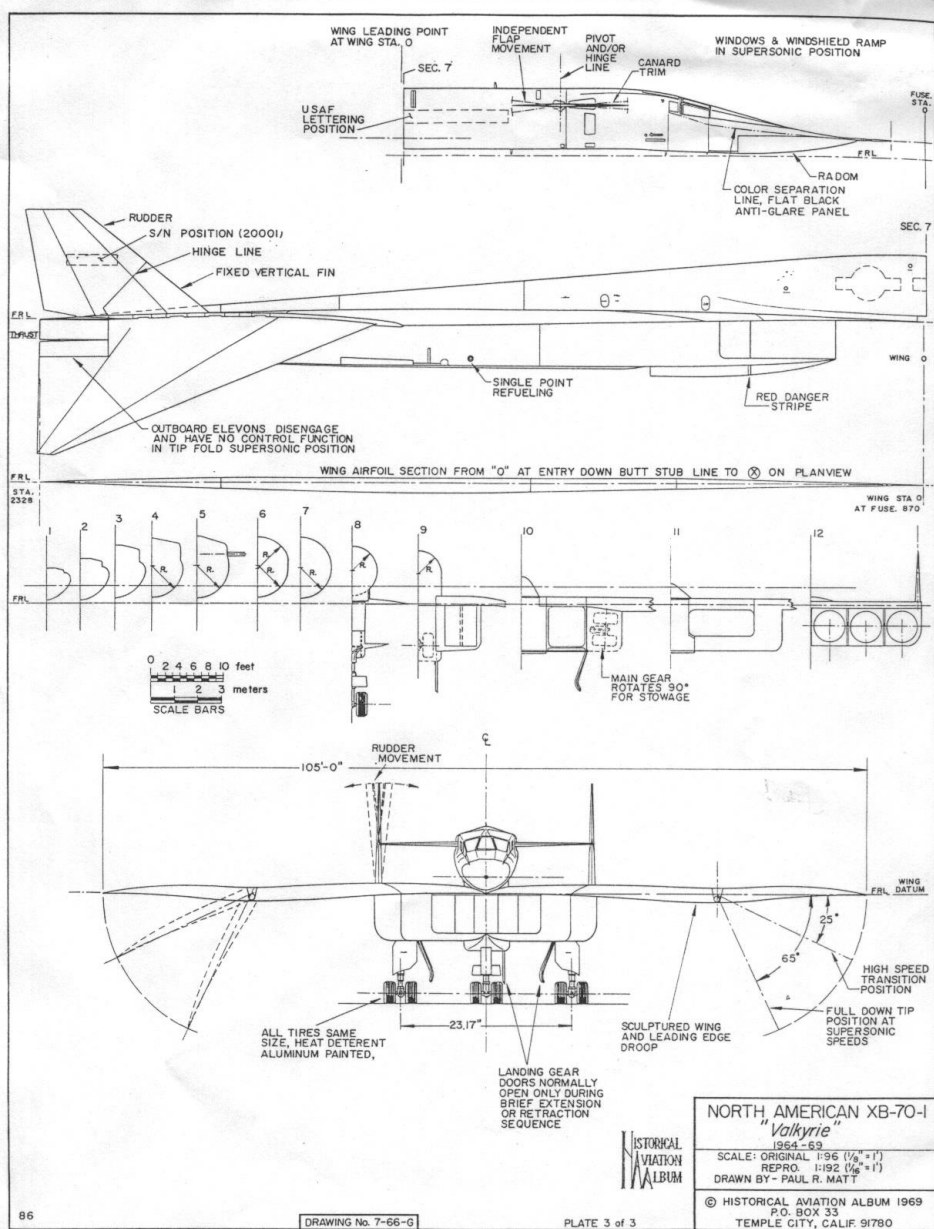
翼梢涡的其它效应



飞行间距标准摘选（美国）

- Separation is applied to aircraft operating directly behind a heavy/B757 jet at the same altitude or less than 1,000 feet below:
 - ◆ Heavy jet behind heavy jet - 4 miles.
 - ◆ Large/heavy behind B757 - 4 miles.
 - ◆ Small behind B757 - 5 miles.
 - ◆ Small/large aircraft behind heavy jet - 5 miles.
- Also, separation, measured at the time the preceding aircraft is over the landing threshold, is provided to small aircraft:
 - ◆ Small aircraft landing behind heavy jet - 6 miles.
 - ◆ Small aircraft landing behind B757 - 5 miles.
 - ◆ Small aircraft landing behind large aircraft- 4 miles.
- Additionally, appropriate time or distance intervals are provided to departing aircraft:
 - ◆ Two minutes or the appropriate 4 or 5 mile radar separation when takeoff behind a heavy/B757 jet will be:
 - ◆ From the same threshold.
 - ◆ On a crossing runway and projected flight paths will cross.
 - ◆ From the threshold of a parallel runway when staggered ahead of that of the adjacent runway by less than 500 feet and when the runways are separated by less than 2,500 feet.
 - ◆ NOTE-Controllers may not reduce or waive these intervals.

折翼的女神：XB-70 Valkyrie

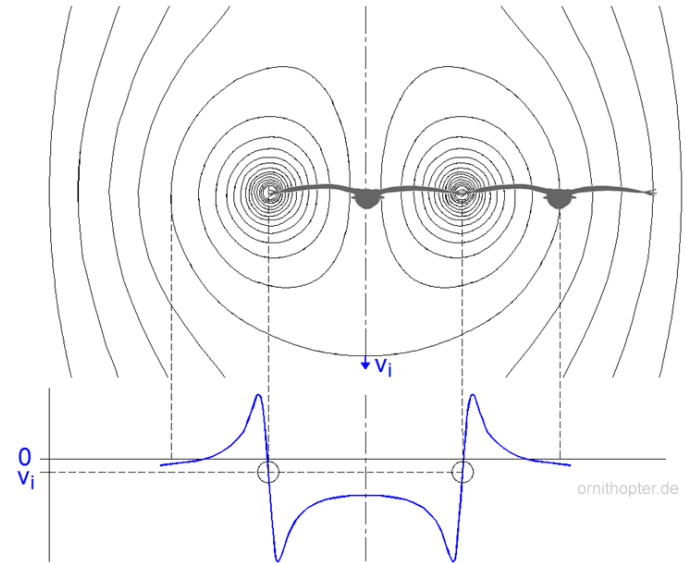
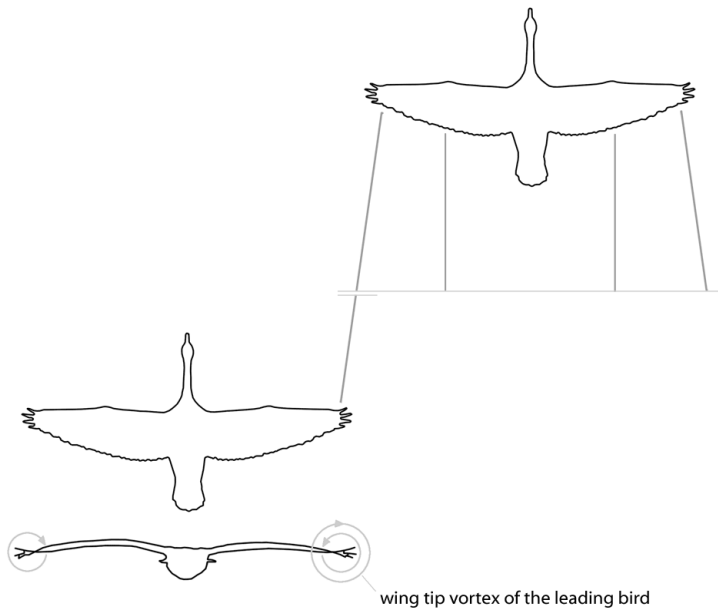


翼展 (Wingspan)	32米
机长 (Length)	57.61米
(含空速管)	59.7米
机高 (Height)	9.14米
前缘后掠角 (The sweepback of the leading edge)	65° 5'
主翼面积 (Wing area)	585.02平方米
空机重量 (Weight of empty aircraft)	108 000公斤
正常起飞重量 (Normal takeoff weight)	244 200公斤
最大飞行速度 (Maximum flight speed)	3218公里/小时
(海拔21 335米)	
油箱容量 (The volume of fuel tanks)	178 000升
翼载 (Unit load on wing)	417公斤/平方米
实用升限 (Practical ceiling)	23 125米
最大航程 (The maximum flight range)	9600公里

折翼的女神：XB-70 Valkyrie



翼稍涡的其它效应



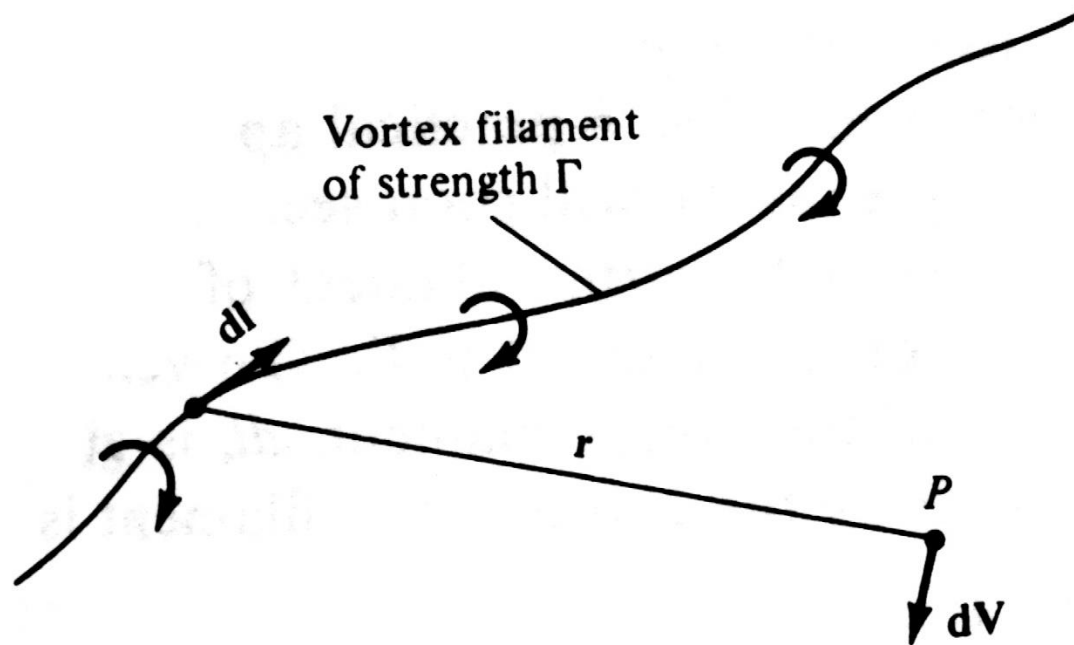
Formation flight in upwash within the downwash field of the bird in front in gliding flight

边条翼和鸭翼



9.3 涡丝、毕奥-沙瓦定律及亥姆霍兹定理

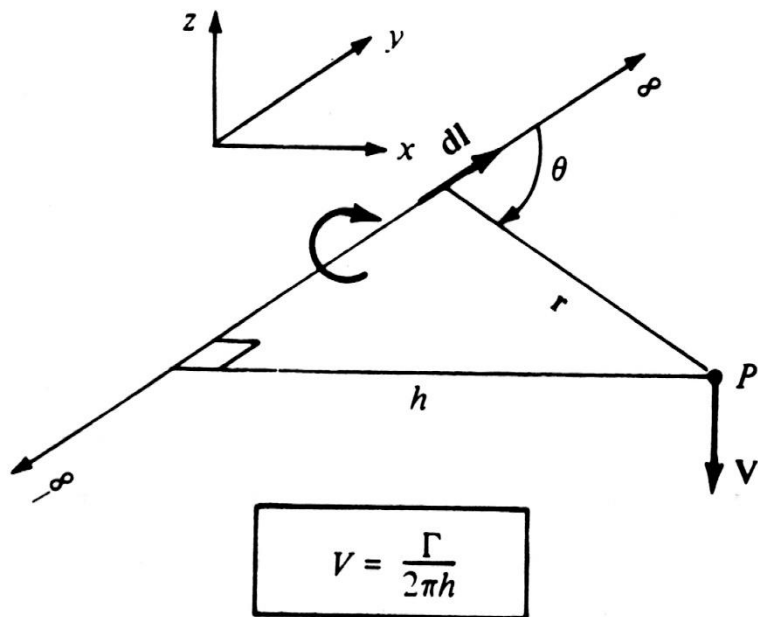
◆ 涡丝示意图



◆ 毕奥-沙瓦定律 (Biot-Savart Law)

$$d\mathbf{V} = \frac{\Gamma}{4\pi} \frac{d\mathbf{l} \times \mathbf{r}}{|\mathbf{r}|^3}$$

无限长直涡丝的诱导速度



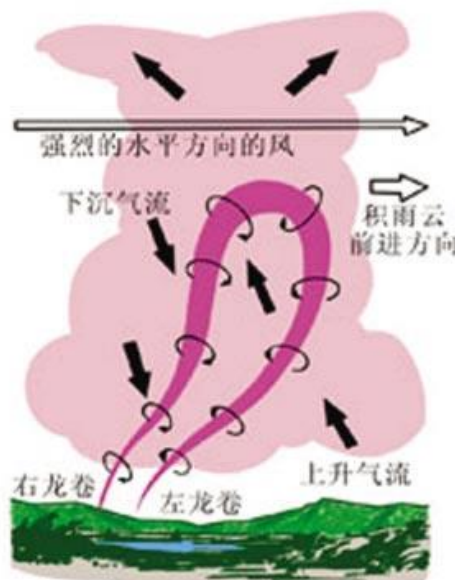
$$\begin{aligned} V &= \frac{\Gamma}{4\pi} \int_{-\infty}^{\infty} \frac{|d\mathbf{l} \times \mathbf{r}|}{|\mathbf{r}|^3} \\ &= \frac{\Gamma}{4\pi} \int_{-\infty}^{\infty} \frac{\sin \theta}{r^2} dl \\ &= \frac{\Gamma}{2\pi h} \end{aligned}$$

半无限长直涡丝的诱导速度

$$V = \frac{\Gamma}{4\pi h}$$

◆ 亥姆霍兹定理(Helmholtz's Theorems)

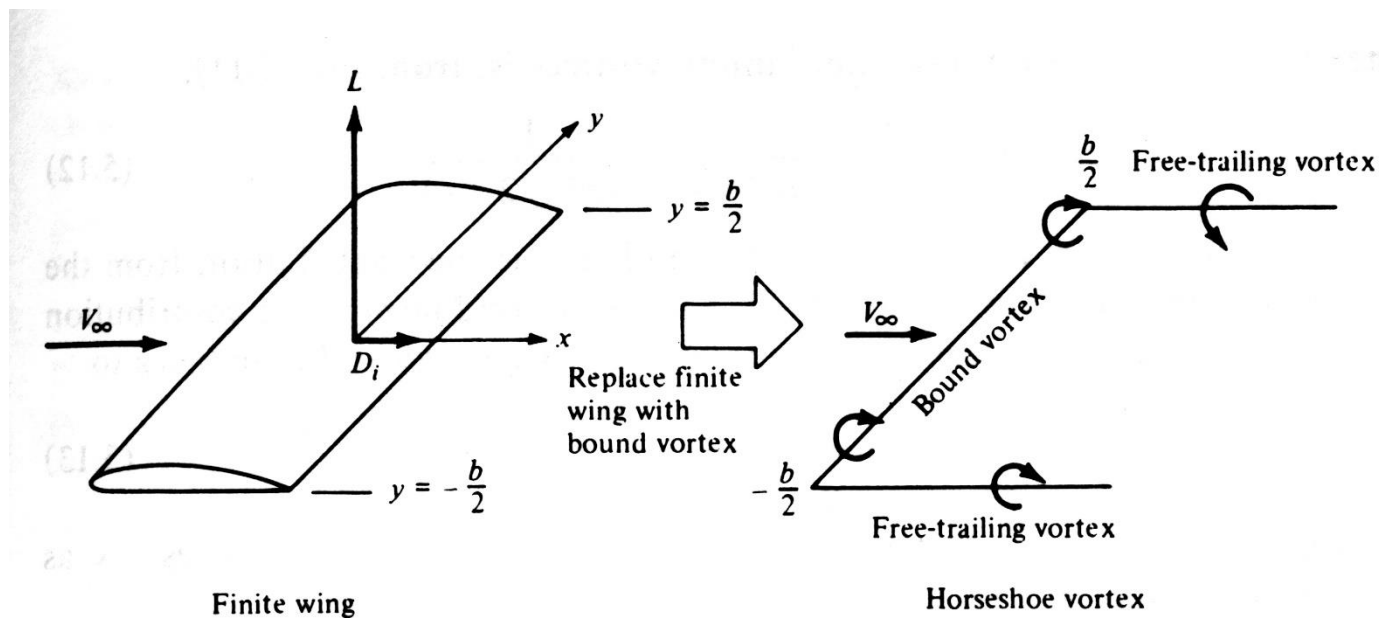
- ✓ 涡丝强度沿长度方向不变；
- ✓ 涡丝不能在流体中中断；涡丝或者延长到流体的边界（可以为无穷远），或者形成闭合回路。



◆ 有限翼展展向升力分布

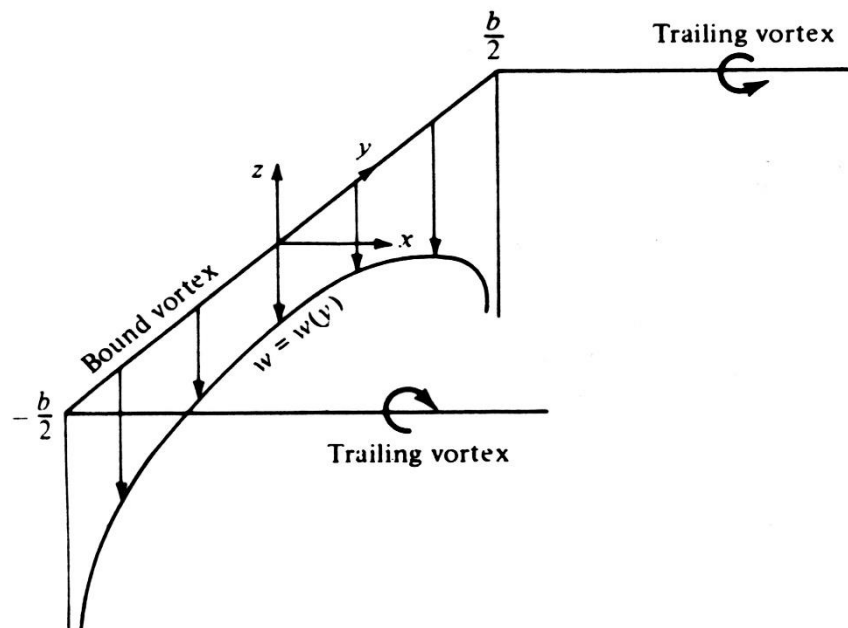
- ✓ 升力分布为翼展方向的函数： $L'(y_1)$ ；
- ✓ 一般来说，弦长沿翼展变化；
- ✓ 攻角沿翼展变化：**几何扭转**；翼尖攻角小于翼根攻角，称为外洗，反之，称为内洗；
- ✓ 零升力攻角沿翼展方向变化，称为**气动扭转**；
- ✓ 由于环量和单位展长升力成比例，因此环量也是展长的函数。
- ✓ 升力在翼尖为零。

9.4 普朗特经典升力线理论



- ✓ 首次提出了能预测有限长机翼气动特性的理论；
- ✓ 用附着涡和自由拖曳涡描述绕流有限长机翼流场；
- ✓ 用附着涡代替有限长机翼。

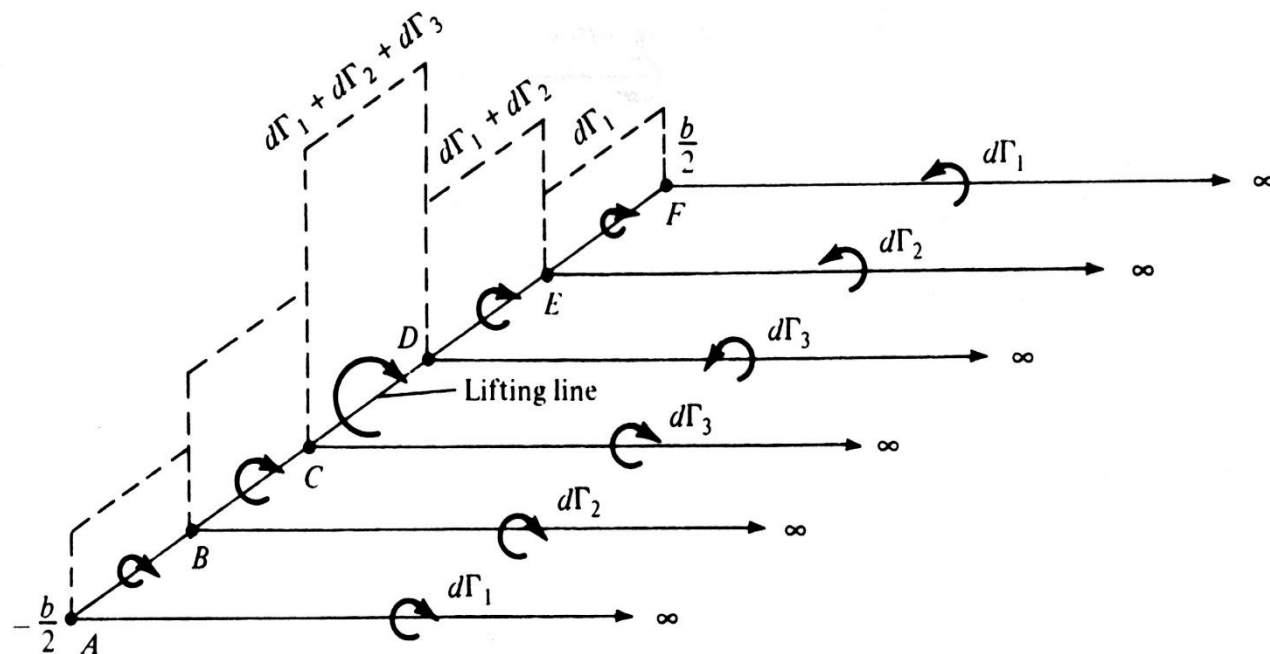
◆ 单个马蹄涡



- ✓ 附着涡在其自身上没有诱导速度；
- ✓ 两个拖曳涡在附着涡方向沿下洗方向有诱导速度；
- ✓ 若原点在附着涡中间，则附着涡上y点处拖曳涡的诱导速度为

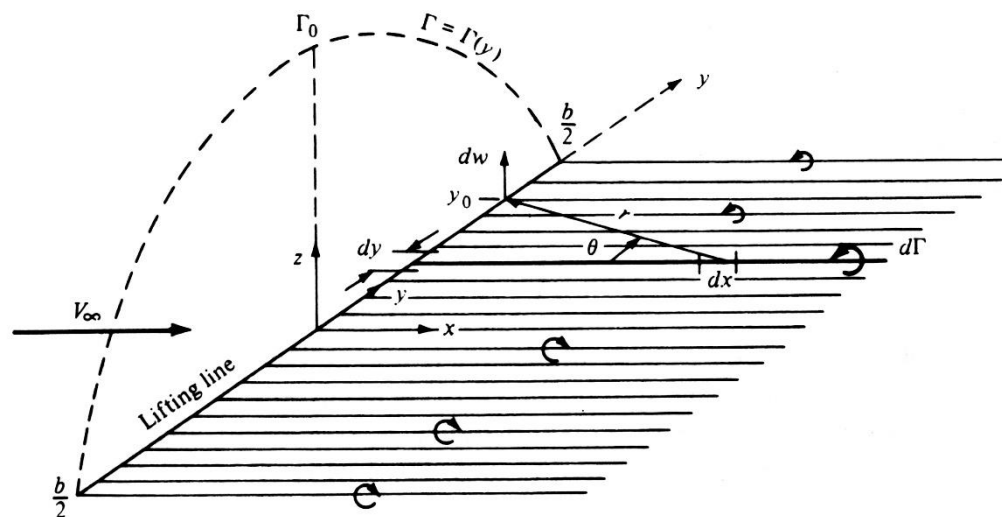
$$w(y) = -\frac{\Gamma}{4\pi(b/2 + y)} - \frac{\Gamma}{4\pi(b/2 - y)} \quad \longrightarrow \quad w(y) = -\frac{\Gamma}{4\pi} \frac{b}{(b/2)^2 - y^2}$$

◆ 多个马蹄涡的叠加



- ✓ 单个马蹄涡在翼尖处诱导速度无穷大；
- ✓ 将多个马蹄涡叠加，附着涡长度不同，但都处于同一条线上，这条线称为升力线；
- ✓ 每个拖曳涡强度的变化等于沿附着涡环量的变化。

◆ 无限个马蹄涡的叠加



- ✓ 环量成为连续函数；
- ✓ 拖曳涡组成了一个平行于流动方向的涡面升力线上 dy 长度的环量变化为

$$d\Gamma = (d\Gamma/dy)dy$$

在升力线上 y_0 处诱导的速度

$$dw = -\frac{(d\Gamma/dy)dy}{4\pi(y_0 - y)}$$

整个涡面在 y_0 的诱导速度：

$$w(y_0) = -\frac{1}{4\pi} \int_{-b/2}^{b/2} \frac{(d\Gamma/dy)dy}{(y_0 - y)}$$

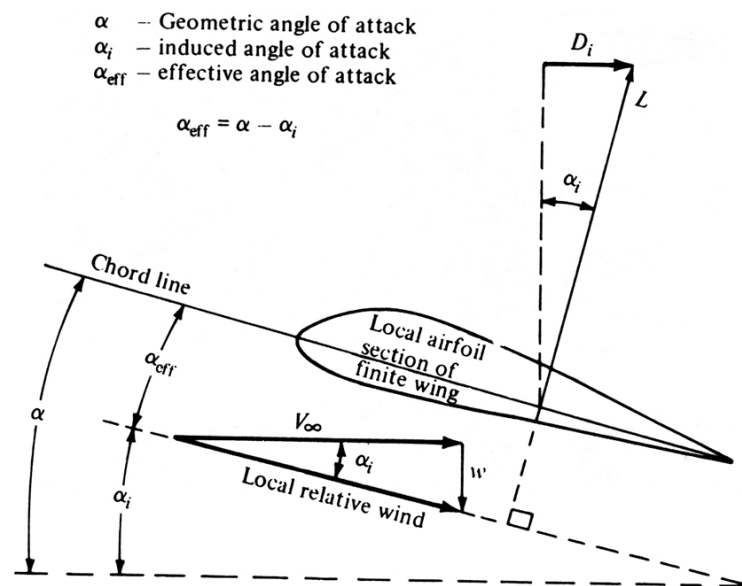
则诱导攻角：

$$\alpha_i(y_0) = \tan^{-1} \left(\frac{-w(y_0)}{V_\infty} \right)$$

$$\alpha_i(y_0) = -\frac{w(y_0)}{V_\infty}$$



$$\alpha_i(y_0) = \frac{1}{4\pi V_\infty} \int_{-b/2}^{b/2} \frac{(d\Gamma/dy)dy}{(y_0 - y)}$$



◆ 有效攻角和升力系数的关系

$$c_l = a_0 [\alpha_{eff}(y_0) - \alpha_{L=0}] = 2\pi [\alpha_{eff}(y_0) - \alpha_{L=0}]$$

a_0 : 当地升力线斜率

$$L' = \frac{1}{2} \rho_\infty V_\infty^2 c(y_0) c_l = \rho_\infty V_\infty \Gamma(y_0) \longrightarrow c_l = \frac{2\Gamma(y_0)}{V_\infty c(y_0)}$$

$$\longrightarrow \alpha_{eff} = \frac{\Gamma(y_0)}{\pi V_\infty c(y_0)} + \alpha_{L=0}$$

$$\alpha_{eff} = \alpha - \alpha_i$$

普朗特升力线理论基本方程:

$$\longrightarrow \alpha(y_0) = \frac{\Gamma(y_0)}{\pi V_\infty c(y_0)} + \alpha_{L=0}(y_0) + \frac{1}{4\pi V_\infty} \int_{-b/2}^{b/2} \frac{(d\Gamma/dy)dy}{(y_0 - y)}$$

翼型理论的任务:

1. 得到已有翼型的气动特性;
2. 按照气动需求设计翼型。

$$\alpha(y_0) = \frac{\Gamma(y_0)}{\pi V_\infty c(y_0)} + \alpha_{L=0}(y_0) + \frac{1}{4\pi V_\infty} \int_{-b/2}^{b/2} \frac{(d\Gamma/dy)dy}{(y_0 - y)}$$

求解出环量:

$$\Gamma = \Gamma(y)$$

求解升力分布:

$$L'(y_0) = \rho_\infty V_\infty \Gamma(y_0)$$


总升力:

$$L = \int_{-b/2}^{b/2} L'(y)dy = \rho_\infty V_\infty \int_{-b/2}^{b/2} \Gamma(y)dy$$

升力系数:

$$C_L = \frac{L}{q_\infty S} = \frac{\rho_\infty V_\infty \int_{-b/2}^{b/2} \Gamma(y)dy}{0.5 \rho_\infty V_\infty^2 S} = \frac{2}{V_\infty S} \int_{-b/2}^{b/2} \Gamma(y)dy$$

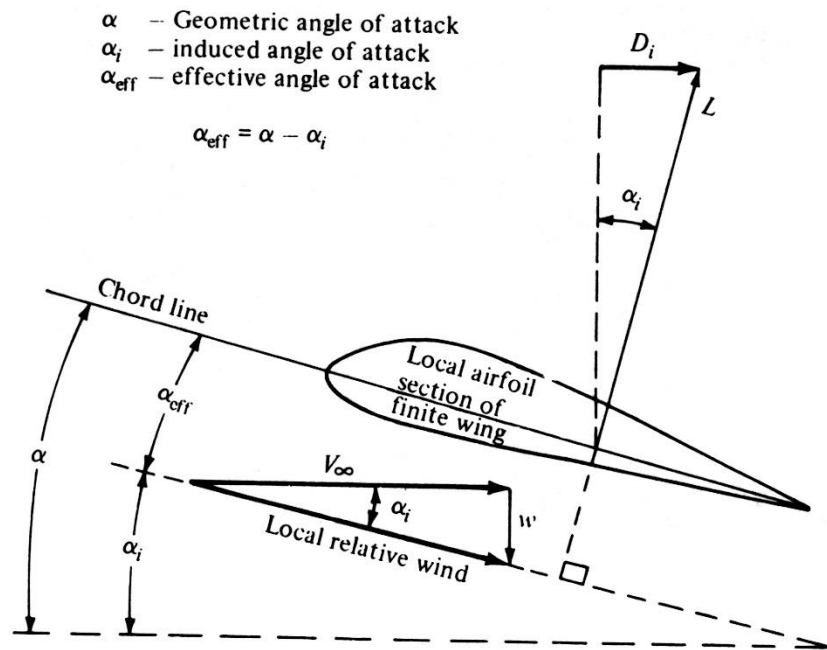
单位展长诱导阻力:

$$\alpha_i \ll 1$$


$$D'_i = L' \sin \alpha_i$$

$$D'_i = L' \alpha_i$$

总诱导阻力:



$$D_i = \int_{-b/2}^{b/2} L'(y) \alpha_i(y) dy = \rho_{\infty} V_{\infty} \int_{-b/2}^{b/2} \Gamma(y) \alpha_i(y) dy$$

诱导阻力系数:

$$C_{D,i} = \frac{D_i}{q_{\infty} S} = \frac{2}{V_{\infty} S} \int_{-b/2}^{b/2} \Gamma(y) \alpha_i(y) dy$$

◆ 椭圆型翼载分布

$$\Gamma(y) = \Gamma_0 \sqrt{1 - \left(\frac{2y}{b}\right)^2}$$

- ✓ 中心处（翼根）环量为 Γ_0 ；
- ✓ 由茹科夫斯基定理，升力也呈椭圆分布：

$$L'(y) = \rho_\infty V_\infty \Gamma(y) = \rho_\infty V_\infty \Gamma_0 \sqrt{1 - \left(\frac{2y}{b}\right)^2}$$

- ✓ 翼尖处环量为零。

由此反向设计机翼形状

下洗速度：

$$\frac{d\Gamma}{dy} = -\frac{4\Gamma_0}{b^2} \frac{y}{\left(1 - 4y^2/b^2\right)^{1/2}}$$

$$w(y_0) = \frac{\Gamma_0}{\pi b^2} \int_{-b/2}^{b/2} \frac{y}{\left(1 - 4y^2/b^2\right)^{1/2} (y_0 - y)} dy$$

变量替换：

$$y = \frac{b}{2} \sin \theta \quad dy = \frac{b}{2} \cos \theta d\theta$$

解得：

$$w(\theta_0) = -\frac{\Gamma_0}{2b}$$

椭圆升力分布情况下，下洗速度沿展向为常数

诱导攻角：

$$\alpha_i = -\frac{w}{V_\infty} = \frac{\Gamma_0}{2bV_\infty}$$


总升力：

$$L = \rho_\infty V_\infty \Gamma_0 \frac{b}{2} \int_0^\pi \sin^2 \theta d\theta = \rho_\infty V_\infty \Gamma_0 \frac{b}{4} \pi = \frac{1}{2} \rho_\infty V_\infty^2 S C_L$$

定义展弦比：

$$AR = \frac{b^2}{S}$$

b为翼展长度，S为翼面积。另外一种定义方式为翼展长度与标准平均弦长的比值


$$\alpha_i = \frac{C_L}{\pi AR}$$

椭圆升力分布情况下，诱导攻角和展弦比成反比

诱导阻力系数：

$$C_{D,i} = \frac{C_L^2}{\pi AR}$$

- ✓ 诱导阻力系数与升力系数的平方成正比。这是由于诱导阻力和升力均为机翼上下表面压力分布差异造成，因此诱导阻力常被称为升致阻力；
- ✓ 诱导阻力系数和展弦比成反比

椭圆形翼载分布：

✓ 若有限长机翼没有气动扭转和几何扭转，即

$$\alpha = \text{const.} \quad \alpha_{L=0} = \text{const.} \quad \alpha_i = \text{const.}$$

则：

$$\alpha_{\text{eff}} = \alpha - \alpha_i = \text{const.}$$

又：

$$c_l = a_0(\alpha_{\text{eff}} - \alpha_{L=0})$$

薄翼：

$$a_0 = 2\pi$$

则 c_l 沿翼展为常数

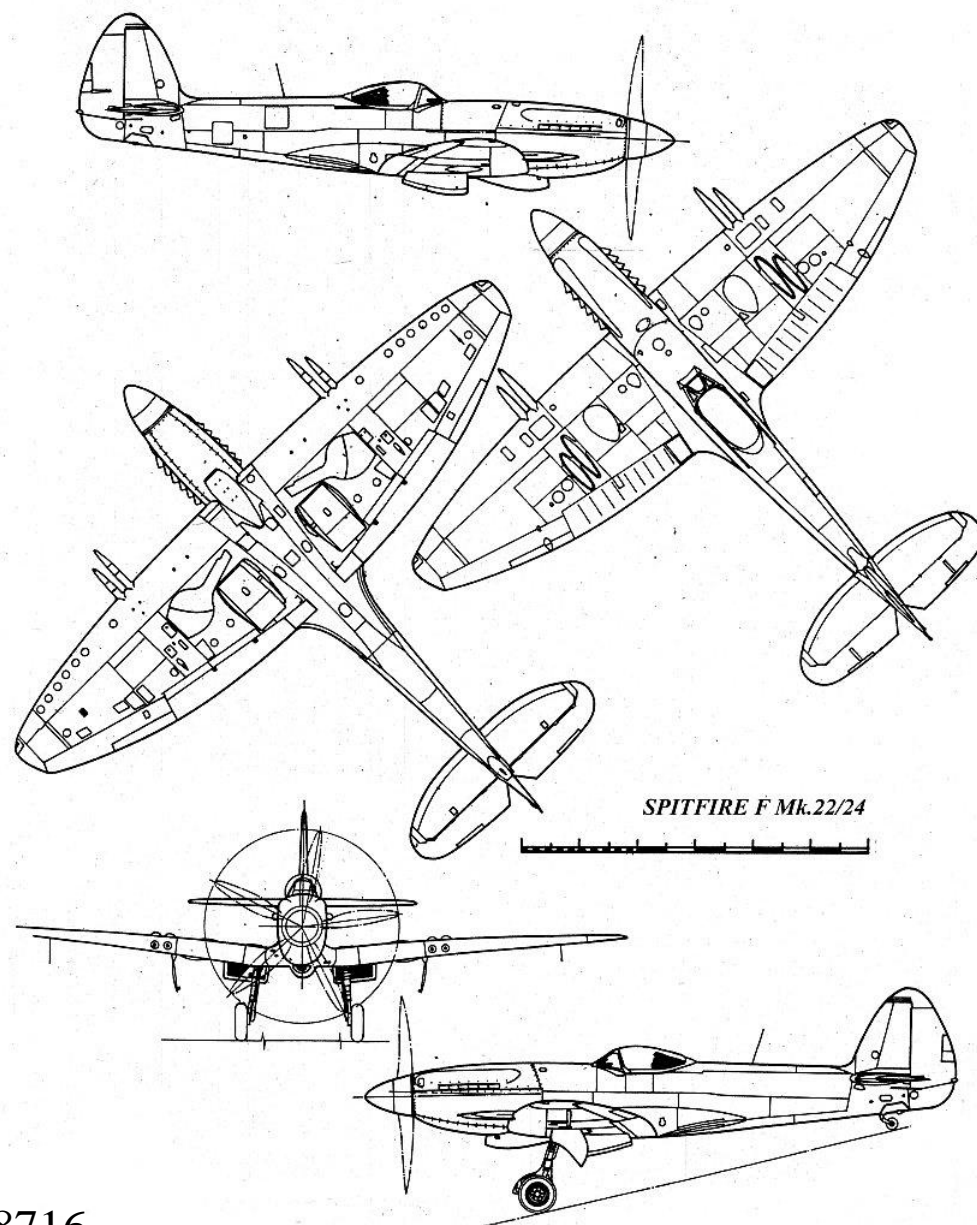
✓ 单位展长升力分布：

$$L'(y) = q_{\infty} c c_l$$

得到弦长沿展向分布为：

$$c(y) = \frac{L'(y)}{q_{\infty} c_l}$$

若动压和升力系数为常数，弦长沿展向的变化也是椭圆型



<https://zhuanlan.zhihu.com/p/429618716>

◆ 一般翼载分布

$$\Gamma(\theta) = 2bV_{\infty} \sum_1^N A_n \sin n\theta$$

$$\frac{d\Gamma}{dy} = \frac{d\Gamma}{d\theta} \frac{d\theta}{dy} = 2bV_{\infty} \sum_1^N nA_n \cos n\theta \frac{d\theta}{dy}$$

普朗特升力线理论基本方程变为：

$$\alpha(y_0) = \frac{2b}{\pi c(\theta_0)} \sum_1^N A_n \sin n\theta + \alpha_{L=0}(\theta_0) + \sum_1^N nA_n \frac{\sin n\theta_0}{\sin \theta_0}$$

通过数值方法求解系数

求得环量后，升力系数：

$$C_L = \frac{2}{V_\infty S} \int_{-b/2}^{b/2} \Gamma(y) dy = \frac{2b^2}{S} \sum_1^N A_n \int_0^\pi \sin n\theta \sin \theta d\theta$$

$$C_L = A_1 \pi \frac{b^2}{S} = A_1 \pi AR$$

诱导攻角：

$$\alpha_i(y_0) = \frac{1}{4\pi V_\infty} \int_{-b/2}^{b/2} \frac{(d\Gamma/dy) dy}{(y_0 - y)}$$

$$\alpha_i(\theta) = \sum_1^N n A_n \frac{\sin n\theta}{\sin \theta}$$

诱导阻力系数：

$$\begin{aligned} C_{D,i} &= \frac{2}{V_\infty S} \int_{-b/2}^{b/2} \Gamma(y) \alpha_i(y) dy \\ &= \frac{2b^2}{S} \int_0^\pi \left(\sum_1^N A_n \sin n\theta \right) \alpha_i(\theta) \sin \theta d\theta \end{aligned}$$

$$C_{D,i} = \frac{2b^2}{S} \int_0^\pi \left(\sum_1^N A_n \sin n\theta \right) \left(\sum_1^N n A_n \sin n\theta \right) d\theta$$

$$C_{D,i} = \frac{C_L^2}{\pi AR} \left(1 + \sum_2^N \frac{n A_n^2}{A_1^2} \right) = \frac{C_L^2}{\pi AR} (1 + \delta)$$

其中： $\delta = \sum_2^N n A_n^2 / A_1^2 > 0$

椭圆型载荷分布诱导阻力最小

三维机翼特性

- ◆ 展弦比
- ◆ 扭转
- ◆ 根梢比
- ◆ 厚弦比
- ◆ 翼型剖面
- ◆ 后掠

◆ 展弦比



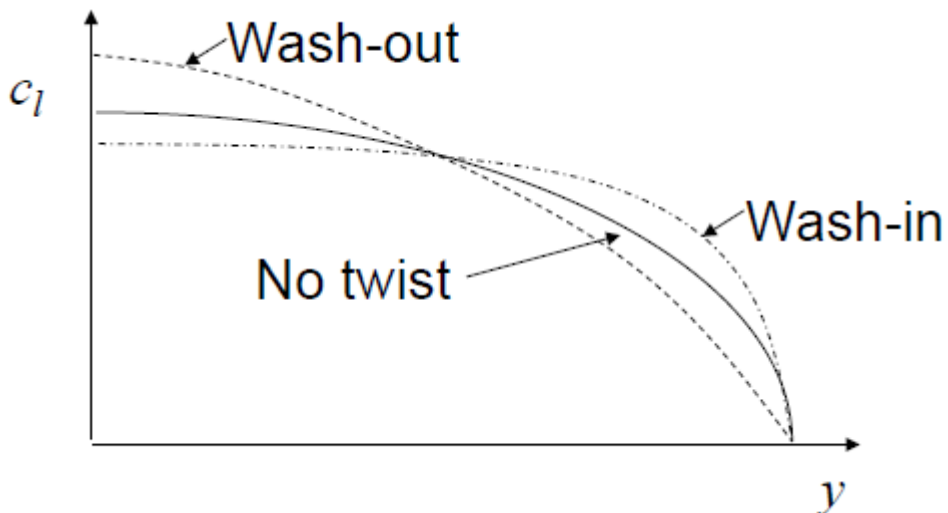
小展弦比



大展弦比

◆ 几何扭转

几何扭转；翼尖攻角小于翼根攻角，称为外洗，反之，称为内洗；

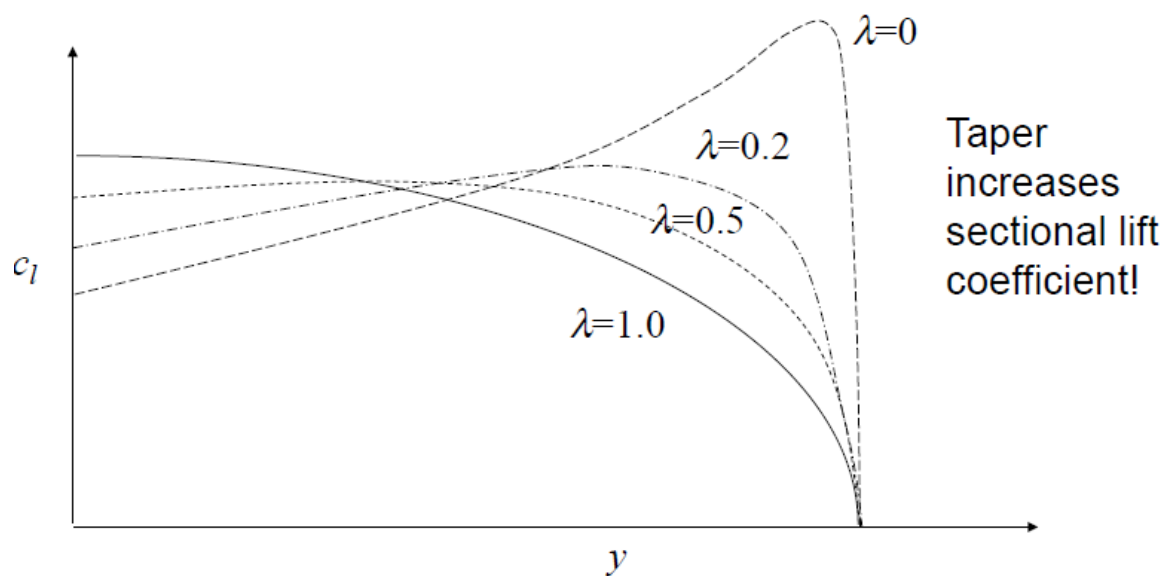


翼尖攻角小于翼根攻角，称为外洗；反之，称为内洗；

调整负载；调整失速特性

◆ 根梢比

- ✓ 调整负载；
- ✓ 减小诱导阻力；
- ✓ 减轻结构重量；
- ✓ 合适的根梢比对升力影响不大。





P-51

非线性变化根梢比



Cessna 120

根梢比为1

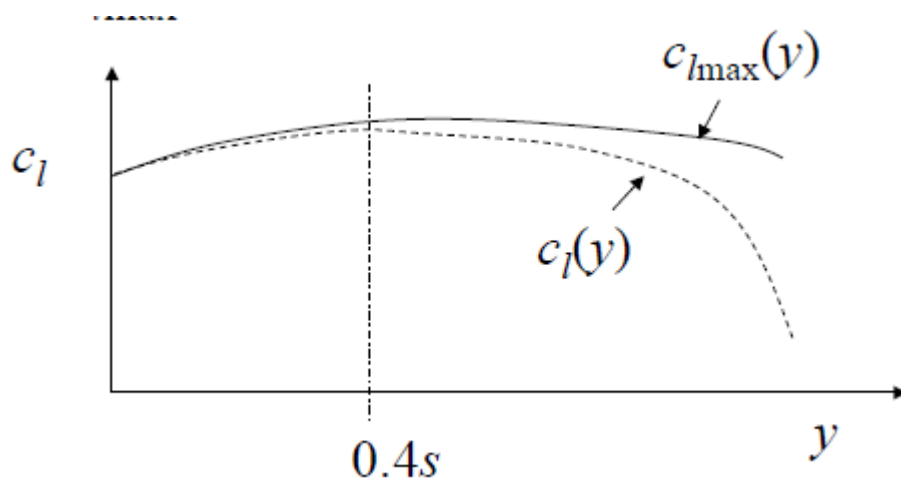
◆ 厚弦比

翼型的最大厚度和弦长的比

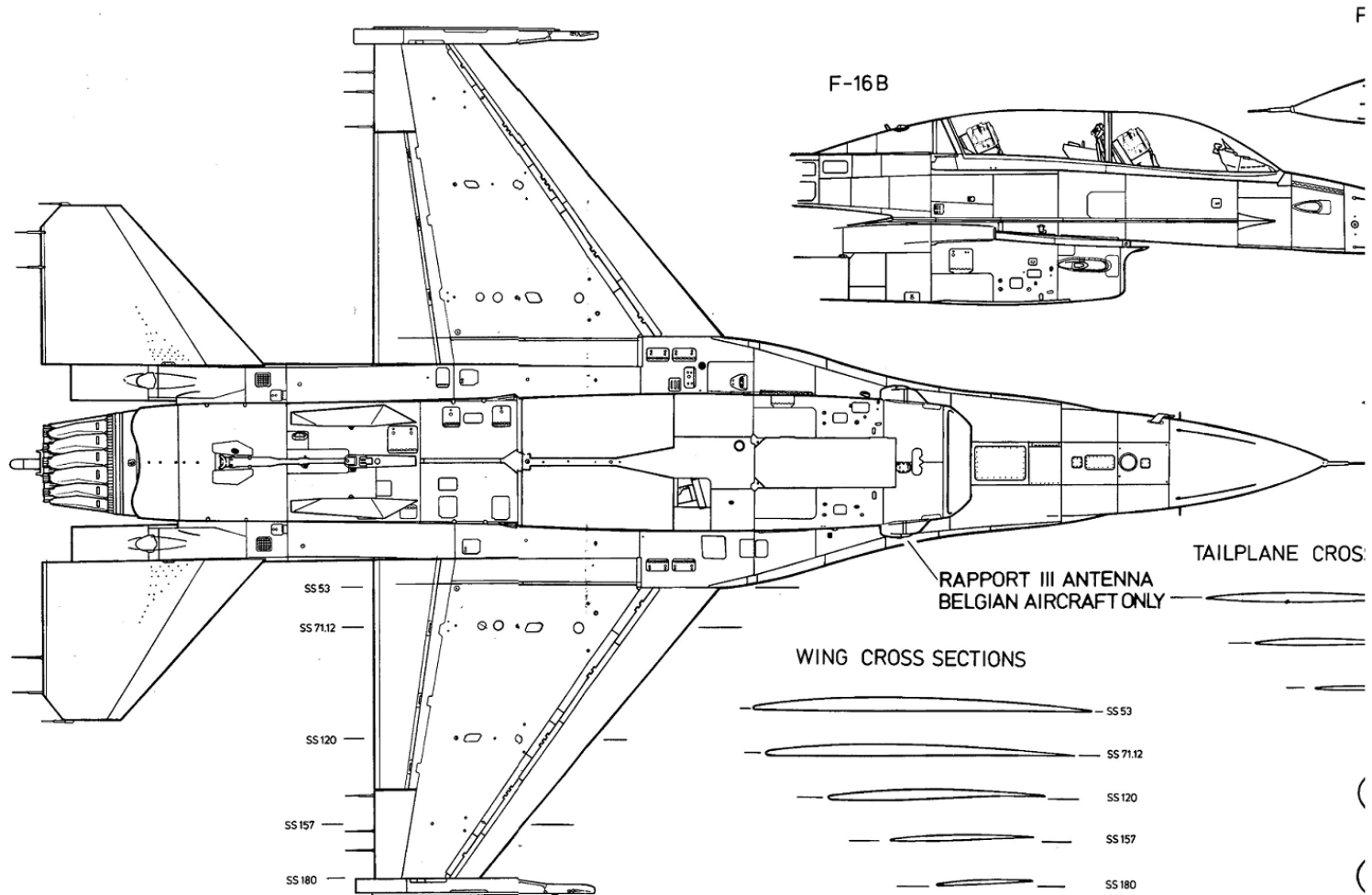
- ✓ 调整结构重量;
- ✓ 调整阻力;
- ✓ 影响升力;
- ✓ 比较优化的厚弦比:
 - 翼根附近: 15%-20%
 - 翼梢附近: 10%-15%
 - 不能超过20%

◆ 翼型剖面

- ✓ 在小攻角情况下一般不影响升力在翼面上的分布；
- ✓ 主要影响当地最大升力系数曲线以及剖面阻力；



- ✓ 变弯度NACA 64A-204
- ✓ 扭转:at SS 53.0-0° ; at SS 180-3°



作业：

补充材料5.1、5.3题